

SUR LE TRANSFERT D'ÉNERGIE ENTRE UN ÉCOULEMENT TOURBILLONNAIRE ET UN CHAMP ACOUSTIQUE

E. BROCHER, K. HOURIGAN*, M.C. THOMPSON*, A. ANDRIANANTOANDRO et M.C. WELSH*

Institut de Mécanique des Fluides de Marseille, U.M. 34 du C.N.R.S., 1 rue Honorat, F-13003 Marseille, France

**CSIRO, Division of Building, Construction and Engineering, P.O. Box 56, Highett, 3190 Victoria, Australia*

Abstract

Experiments run either in a windtunnel or with the free surface hydraulic analogy have shown that, under certain conditions, strong coupling may occur between the vortex shedding of a cylindrical body placed upstream of the entrance of a cavity, and the acoustic waves propagating within the cavity. The strength of the coupling depends on several geometrical factors (cross section shape of cylindrical body, distance separating the cylindrical body from the cavity entrance, cavity depth) and on the flow velocity. These results may be explained on the basis of Howe's theory of aerodynamic sound which shows how energy is transferred from a fluid motion to an acoustic field or vice versa. Observation of the flow in the hydraulic analogy by shadowgraph technique and considerations based on Howe's theory have led to a modification of the cavity entrance to increase the energy transfer from the fluid motion to the acoustic field. Experiments carried out with this modification have fully confirmed the soundness of the theory.

Introduction

Il y a de nombreuses années VREBALOVICH (Réf.1) a montré qu'il était possible de générer des ondes acoustiques stationnaires dans une cavité cylindrique placée parallèlement à un écoulement, en disposant à l'amont de l'embouchure de cette cavité un corps créant un sillage. Ces expériences étaient réalisées principalement en régime supersonique, mais quelques essais ont également été effectués à un nombre de Mach égal à 0,66. Les stioscopes montraient clairement une action des ondes émanant de l'embouchure sur l'écoulement autour du corps excitant le champ acoustique dans la cavité.

BROCHER et DUPORT (Réf. 2) ont repris l'idée de VREBALOVICH pour développer un résonateur capable de fonctionner à des nombres de Mach faibles. En optimisant la géométrie du corps excitant les ondes à l'intérieur de la cavité, ces auteurs ont réussi à obtenir un excellent fonctionnement du résonateur à une vitesse d'écoulement aussi faible que 35 m/s. En plus de l'intérêt que représente ce dispositif sur le plan fondamental, qui met en évidence le couplage d'un champ acoustique avec un écoulement, celui-ci permet de générer un champ acoustique intense dans une veine d'essai de soufflerie pour étudier le comportement d'une couche limite sous l'effet de ce champ (Réf. 3). Il a été ainsi possible de générer un champ acoustique dont l'intensité voisine les 150 dB pour une vitesse dans la veine d'essai ne dépassant pas 50 m/s.

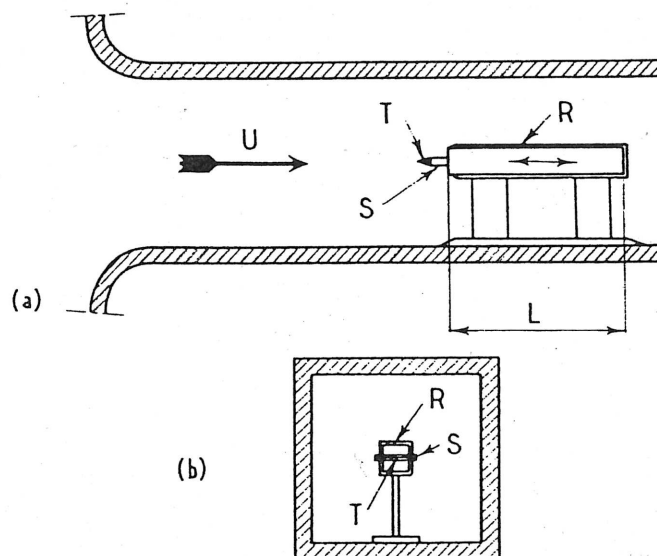


Fig. 1 : Dispositif expérimental (d'après BROCHER et DUPORT, Réf. 2)

a) vue de côté, b) vue de face

R = résonateur ; T = corps d'excitation ; S = support du corps ; L = profondeur du résonateur

Afin de visualiser le couplage entre l'écoulement autour du corps d'excitation et les ondes émanant du résonateur, KAWAHASHI et al. (Réf. 4) ont utilisé l'analogie hydraulique à surface libre. Dans cette analogie, les ondes acoustiques sont simulées par les vaguelettes se propageant à la surface du liquide. La célérité de celles-ci étant plusieurs centaines de fois inférieure à la célérité du son dans l'air, les phénomènes sont observables à l'oeil nu, d'où le très grand intérêt de l'analogie. KAWAHASHI et al. ont particulièrement étudié le cas où le corps d'excitation à la forme d'un dièdre. En faisant varier la distance séparant le dièdre de l'embouchure de la cavité, ces auteurs ont montré que lorsque cette distance est faible, l'échappement de tourbillons sur les 2 arêtes du dièdre se fait simultanément, contrairement à l'échappement alterné qui se produit lorsque cette distance est grande. Lorsque l'échappement tourbillonnaire est simultané, les oscillations de niveau d'eau dans la cavité ont une très forte amplitude.

Théorie

La modélisation de la résonance acoustique induite par l'écoulement dans le résonateur consiste en 3 éléments :

- simulation du champ acoustique résonnant,
- modélisation de la dynamique des fluides comprenant la composante acoustique,
- prédiction des sources de bruit en appliquant la théorie du son d'origine aérodynamique.

Chacun de ces éléments est brièvement décrit ici. Premièrement, la longueur d'onde du champ acoustique est beaucoup plus grande que la largeur de l'embouchure du résonateur et que les dimensions de la section du corps excitateur. En conséquence, localement, la vitesse acoustique peut être supposée très voisine de la solution potentielle obtenue par transformation de SCHWARZ-CHRISTOFFEL du tube résonnant. Deuxièmement, l'écoulement décollant du corps excitateur est simulé par une méthode de tourbillons dans laquelle la condition de vitesse nulle à la paroi du corps est assurée par la méthode de vorticités à la paroi (Réf. 5). De cette approche résulte un échappement de tourbillons élémentaires à chaque pas de temps, convectés par la superposition de l'écoulement potentiel de base, perturbé par le champ acoustique simulé, et de l'écoulement induit par les tourbillons eux-mêmes. Troisièmement, la génération de bruit par le développement et l'accélération des tourbillons est prédite en faisant appel à la théorie de HOWE, qui établit que la puissance acoustique P générée dans un volume V est donnée par

$$P = - \rho_0 \int (\omega \times v) \cdot u \, dV$$

où \underline{u} représente la vitesse acoustique, $\underline{\omega}$ la vorticit  et \underline{v} la vitesse de l' coulement. La puissance instantan e ainsi calcul e est illustr e par la Fig. 2, pour des conditions g om triques et d' coulement dans lesquelles KAWAHASHI et al. (R f. 4) ont observ  de fortes oscillations.

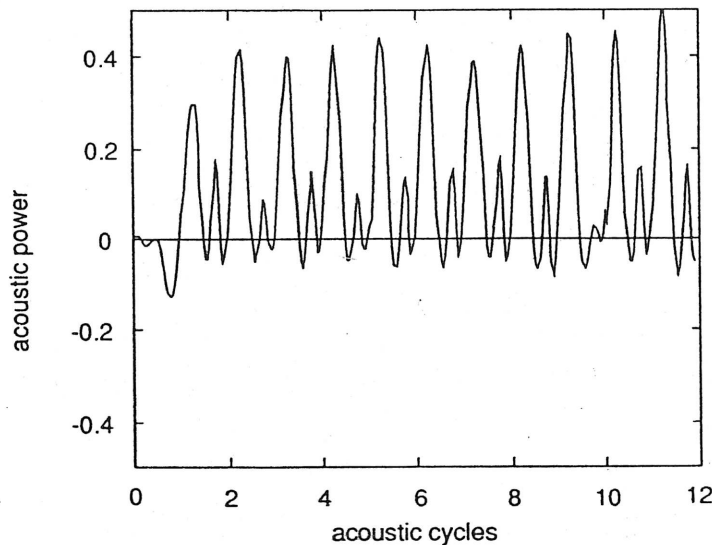


Fig. 2 : Puissance acoustique instantan e par unit  de largeur du r sonateur rapport e   l' nergie m canique $\rho_0 U_\infty^2 b/2$ pour un di dre d'excitation dont la face amont se trouve   5b de l'embouchure du r sonateur, o  b repr sente la hauteur du r sonateur. Amplitude de vitesse   l'embouchure du r sonateur = 0,9 U_∞ .

La puissance acoustique est sensiblement p riodique avec une  nergie acoustique absorb e par l' coulement dans la phase de p n tration de celui-ci dans la cavit  et une quantit  plus importante d' nergie en provenance de l' coulement transf r e au champ acoustique, pendant la phase de vidange de la cavit . Ainsi, au cours d'un cycle, le bilan  nerg tique indique qu'une certaine fraction de l' nergie m canique de l' coulement est transform e en  nergie sonore. Les tourbillons s' chappant du corps d'excitation repr sentent des sources ou des puits qui peuvent augmenter le mode r sonnant dans le tube si la phase est ad quate. L' chappement tourbillonnaire est alors coupl  au son. Le feed-back se fait par r sonance, ce qui signifie que la majeure partie de l' nergie sonore, qui influence l' chappement tourbillonnaire a  t  g n r e lors des cycles pr c dents et a  t  r fl chie, en g n ral plusieurs fois, par le fond du r sonateur.

Exp riences

De nombreuses exp riences ont  t  r alis es sur une table d'analogie hydraulique. Diverses formes de corps excitateurs ont  t  test es : cylindre, carr , di dre.

L'efficacit  du dispositif a  t  d termin e en mesurant l'amplitude des fluctuations du niveau d'eau en fond de cavit . En effet, BROCHER et DUPORT (R f. 2) ont montr  que dans le cas d'un r sonateur excit  par un courant de gaz, l'amplitude maximale de pression en fond de r sonateur est donn e par

$\Delta p_{\max} / p_a = 2 \gamma M$, o  γ repr sente le rapport des chaleurs sp cifiques du gaz, M le nombre de Mach et p_a la pression ambiante. Pour cette amplitude maximum, on peut ais ment d montrer par la th orie acoustique lin aire que l'amplitude de vitesse correspondante   l'embouchure du r sonateur est  gale   la vitesse de l' coulement   l'infini amont (U_∞). Transpos  au cas de l'analogie, cela correspond   une amplitude de fluctuation de niveau d'eau  gale   $\Delta h_{\max} / h_a = 2 Fr$, o  h_a repr sente la hauteur d'eau sur la table et Fr le nombre de Froude. Il a  t  observ  qu'un di dre invers  conduisait aux amplitudes les plus importantes.

Les premi res exp riences ont  t  r alis es avec les l vres de l'embouchure du r sonateur taill es en sifflet et pr sentant donc un angle vif. Quoique pour cette configuration, avec un di dre de grandes dimensions, une amplitude relative  gale   2 Fr, c- -d. "maximale" selon la th orie acoustique, ait  t  obtenue, l'angle vif occasionnait la formation d'un tourbillon secondaire constituant un puit d' nergie acoustique selon la

théorie de HOWE, compte tenu des vitesses acoustiques et de l'écoulement à cet endroit et à cet instant. Aussi, d'autres expériences ont-elles été réalisées avec des lèvres d'embouchure arrondies. La réduction, voire la suppression du tourbillon secondaire, ont permis d'atteindre des amplitudes de fluctuation de niveau d'eau notablement supérieures comme en témoigne la Fig. 3.

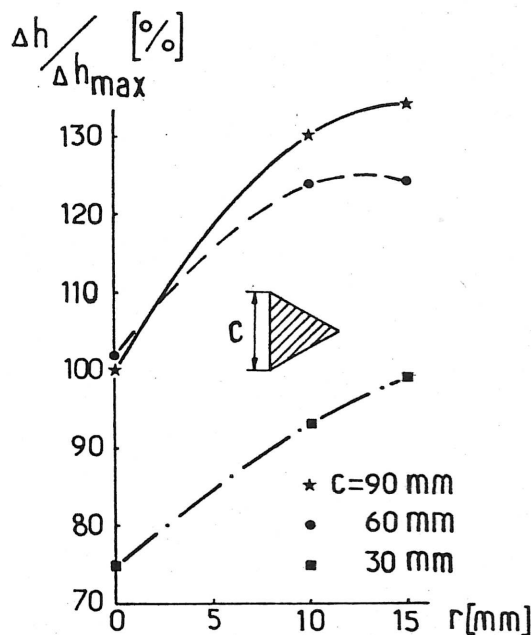


Fig. 3 : Influence du rayon r de la lèvre de l'embouchure du résonateur pour 3 grandeurs de dièdre d'excitation.
Hauteur du résonateur $b = 140$ mm ; profondeur du résonateur $L = 350$ mm ;
nombre de Froude $Fr = 0,161$

Ces résultats montrent que l'amplitude des fluctuations de vitesse à l'embouchure du résonateur peut être supérieure à U_∞ et que, par ailleurs, la théorie de HOWE est pleinement confirmée par les expériences.

Références

- [1] VREBALOVICH, T., TR 32-378, Jet Propulsion Laboratory, Juillet 1962.
- [2] BROCHER, E. et DUPORT, E., AIAA Journal, 26 (5) (1988) 548.
- [3] BROCHER, E., Flow of Real Fluids, Lecture Notes in Physics, 235, Springer Verlag (1985) 235.
- [4] KAWAHASHI, M., BROCHER, E. et COLLINI, P., Fluid Dynamics Research, 3 (1988) 369.
- [5] LEWIS, R.I., J Mech Eng Sci, 23 (1981) 1.